

Zeitschrift: Eclogae Geologicae Helvetiae
Herausgeber: Schweizerische Geologische Gesellschaft
Band: 15 (1918-1920)
Heft: 2

Anhang: Tafeln
Autor: [s.n.]

Nutzungsbedingungen

Die ETH-Bibliothek ist die Anbieterin der digitalisierten Zeitschriften auf E-Periodica. Sie besitzt keine Urheberrechte an den Zeitschriften und ist nicht verantwortlich für deren Inhalte. Die Rechte liegen in der Regel bei den Herausgebern beziehungsweise den externen Rechteinhabern. Das Veröffentlichen von Bildern in Print- und Online-Publikationen sowie auf Social Media-Kanälen oder Webseiten ist nur mit vorheriger Genehmigung der Rechteinhaber erlaubt. [Mehr erfahren](#)

Conditions d'utilisation

L'ETH Library est le fournisseur des revues numérisées. Elle ne détient aucun droit d'auteur sur les revues et n'est pas responsable de leur contenu. En règle générale, les droits sont détenus par les éditeurs ou les détenteurs de droits externes. La reproduction d'images dans des publications imprimées ou en ligne ainsi que sur des canaux de médias sociaux ou des sites web n'est autorisée qu'avec l'accord préalable des détenteurs des droits. [En savoir plus](#)

Terms of use

The ETH Library is the provider of the digitised journals. It does not own any copyrights to the journals and is not responsible for their content. The rights usually lie with the publishers or the external rights holders. Publishing images in print and online publications, as well as on social media channels or websites, is only permitted with the prior consent of the rights holders. [Find out more](#)

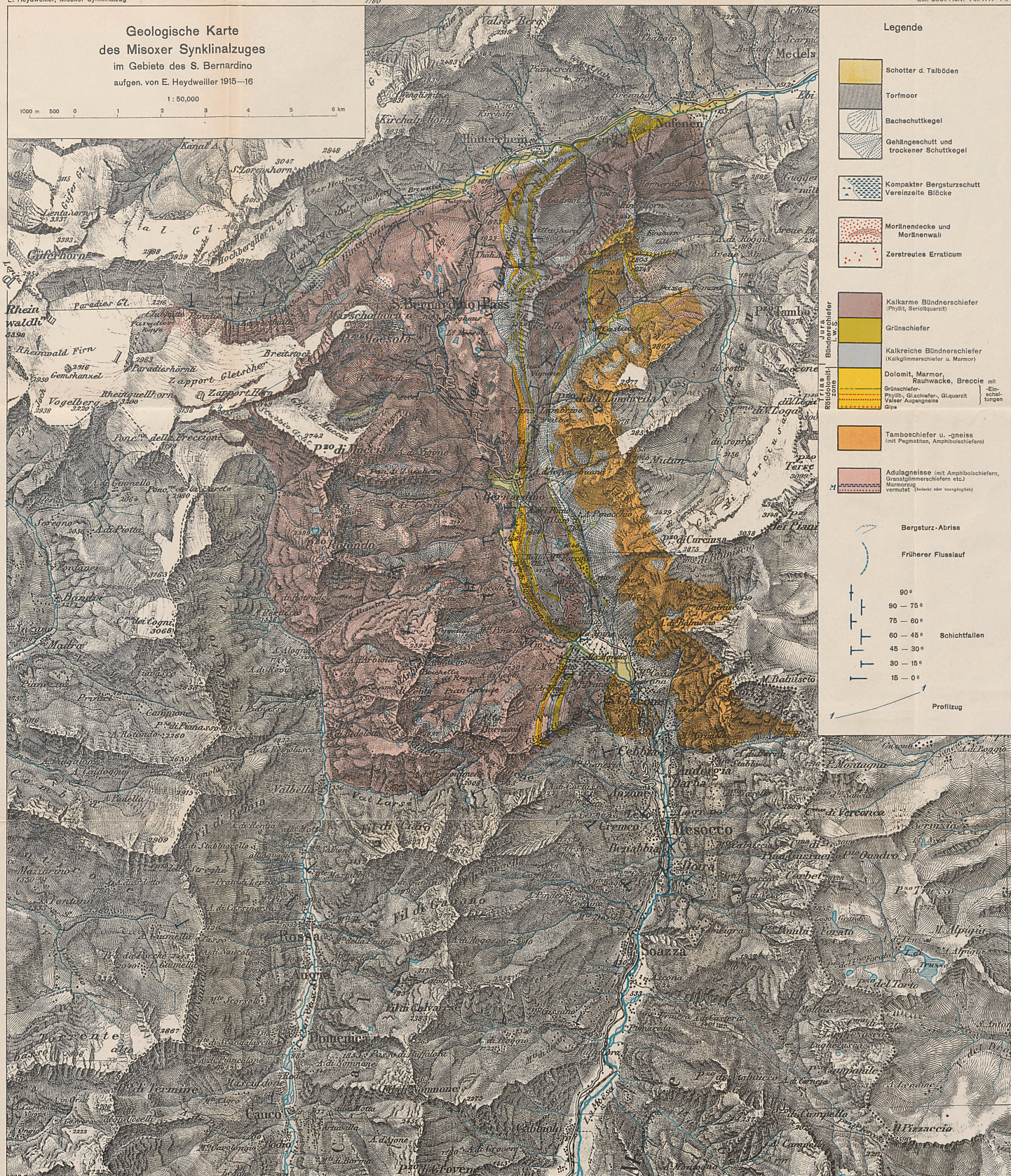
Download PDF: 22.02.2026

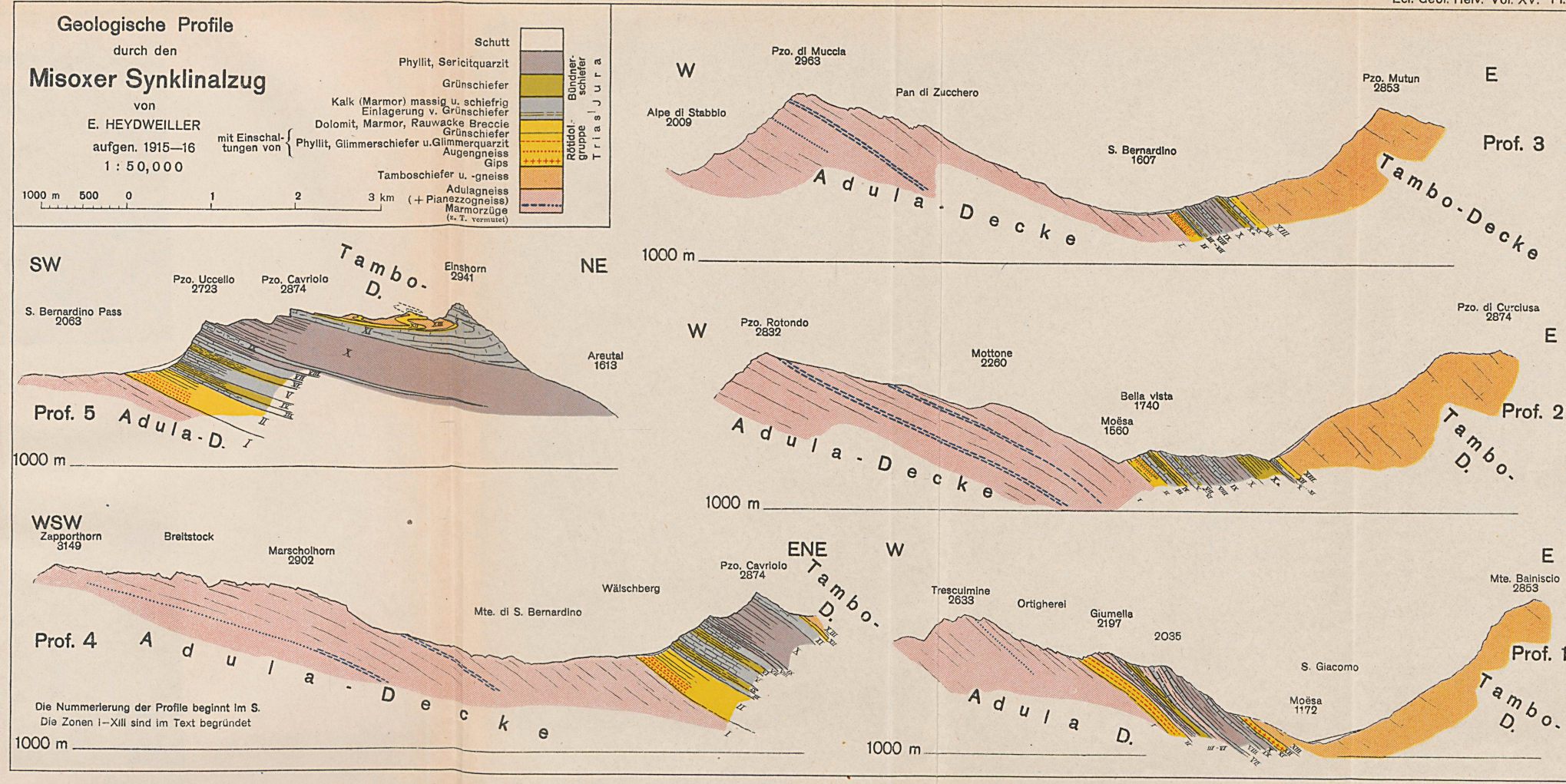
ETH-Bibliothek Zürich, E-Periodica, <https://www.e-periodica.ch>

Geologische Karte
des Misoxer Synkinalzuges

im Gebiete des S. Bernardino
aufgen. von E. Heydweiller 1915—16

1 : 50,000





Rheinaldhorn Lentalücke Gülerhorn Hochberghorn



a) Blick vom Marschhorn auf den Talschlüß des Hinterrheins mit Paradiesgletscher.



c) Hinterrheintal, aufgenommen nördlich Hinterrhein vom Valserbergweg.



b) Blick vom Marschhorn auf die Nordhänge des Hinterreintales.



d) Zapportgletscher, gesehen von der Klubhütte zum Ursprung.



Puncione della Freccione

Zapporthorn

a) Falschluß der Calancasee bei Stabio, aufgenommen westlich des Tre Uominipasses.



b) Obere Val Calanca, aufgenommen südlich Calvarese.



b) Pzo di Termiae mit Lawinenverbauung,
von Calvarese aufgenommen.

Pzo di Muccia

Pzo Rotondo

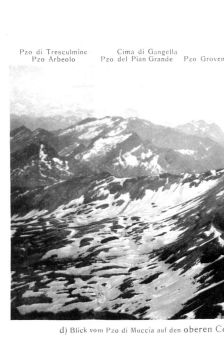
Pzo Arcolea



Tre Uominalp
Passalp
c) Blick vom Fd di Revin auf die Ostseite der Val Calanca



f) Pzo di Pianosso von Passo di Remolasco gesehen.



Pzo di Tresculmine
Pzo Arbolea
Cima di Giangella
Pzo del Pan Grande
Pan Grovesso
Pzo Rotondo



d) Blick vom Pzo di Muccia auf den oberen Contimkarboden

Cima dei Cogni
Fd Rosso



g) Blick aus der Valle di Larsé auf den Pzo dello Strehé und Pzo di Remia.



e) Blick von der Bocchetta di Regna.



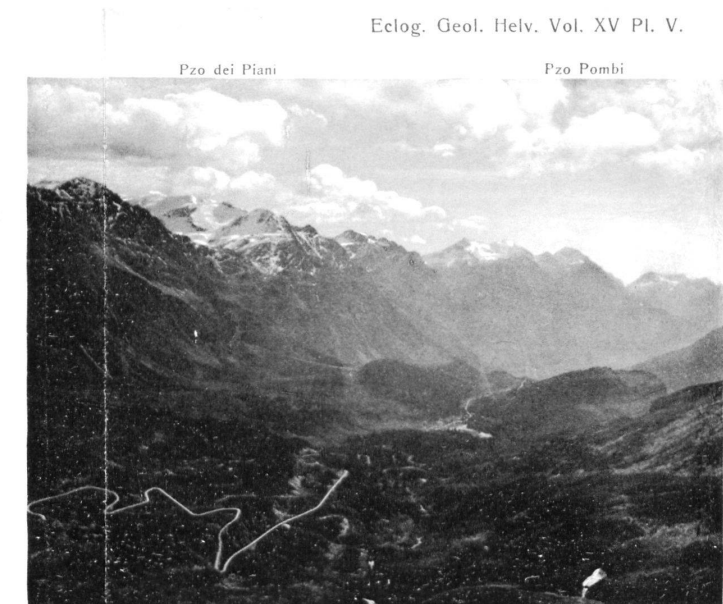
b) Blick vom Osteende des Mucciagletschers in das Mucciatäli und auf den Bernhardinpaß.



a) Blick von den Heubergen auf den verwilderten Talboden des Hinterrheins und den Bernhardinpaß.



d) Oberer Teil des Stufenabfalles über dem Pian S. Giacomo, aufgenommen von Arbea.



c) Becken von S. Bernardino aufgenommen von der Alpe di Moesola.



e) Blick von Gratella auf die Stufenabfälle oberhalb und unterhalb des Pian S. Giacomo.

Cima di Tresculmine

Pizzo d'Arbeolo

Passo dei Passetti

Pizzo Rotondo

Pizzo di Muccia

Marschol-Horn

Kirchalp-Horn

Passo del San Bernardino

Pizzo Uccello

Val Vignone



Monte Savossa

Monte di Forcola

10004. — San Bernardino-Panorama

Panorama des San Bernardino-Gebietes

aus der Richtung des Lago d'Osso

HOHNER



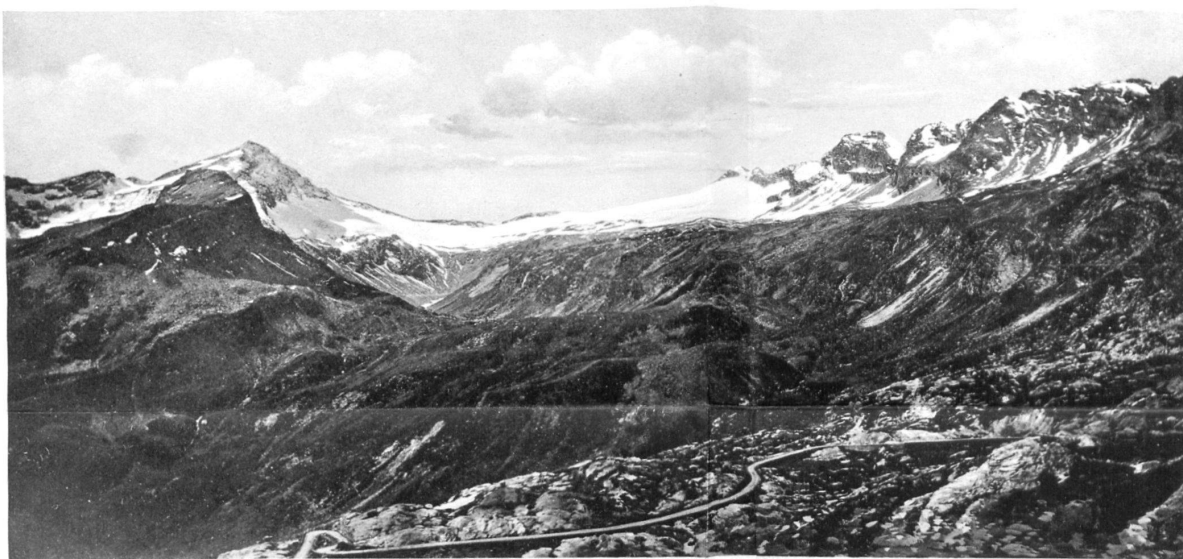
a) Rundhöckerlandschaft am Bernhardinpaß und Marscholhorn.



b) Blick vom Welschberg auf den Bernhardinpaß und Muccia.



c) Moesolasee vom Nordufer aus.



d) Pzo di Muccia, Mucciagletscher und Mucciatäli, Zapportrat, aufgenommen südlich des Moesolaseses.



e) Zapportrat vom N E Ende des Mucciagletschers.



a) Scheidewand zwischen dem Vigone und Mucciakare.



b) Confinokarben.



c) Seitliche Ansicht von Arbea auf die Confino- und Fopellakarböden und ihre Scheidewände.



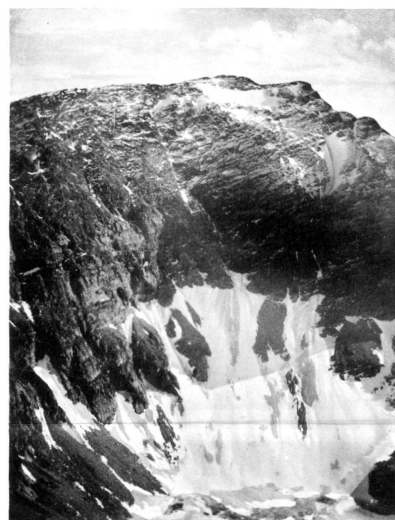
d) Pzo di Tresculmine vom Pian Grande.



e) Cima di Gangella (unten Laghetto di Tresculmine) von Norden gesehen.



f) Passettipalß und Pzo Arbeolo von Norden gesehen.



g) Pzo Rotondo und Laghetto di Stabbio von Norden gesehen.



h) Barnakar und Abrißnische von Gratella, von Ceta aufgenommen.



a) Tresculminebach schneidet die Glanzschieferzone.



b) Der neue Taleinschnitt der Moesa u. Castello di Mesocco
vom Weg nach Doira aufgenommen.



c) Gumegea und Valle della Forcola vom Weg nach Baggia aufgenommen
(links Schichtköpfe der Tambodecke, rechts die Plattenflächen der Aduladecke).



d) Pzo Settaggio, Pzo di Cresem, Sasso di Castello.
Blick vom Mte Gorgino auf die knieförmige Umbiegung der Aduladecke.



e) Blick vom Valserberg in das Areatal und die Gadriolalp.



i) Einhorn-Cavriolo-Uccellogruppe vom Mittaghorn aus gesehen.



a) Pzo Uccello von Süden gesehen.



b) Nordseite des Vignonetales, aufgenommen N. E. Casa Vignone.



c) Piatrone di Vignone.



d) Vignonepaß und Pzo Tambo.





a) Sasso di Casseo und Fil di Forcla
von der Piotta gesehen.



b) Grauhorn, Rheinwaldhorn und Val Soja
aufgenommen N. E. Gorda.



c) Blick von der Alpe Rotondo auf die Cima dei Cogni und den Passo di Revio.



Fil di Revio Pzo di Pianasso
d) Blick in die Val Madra vom Wege nach Bregné.



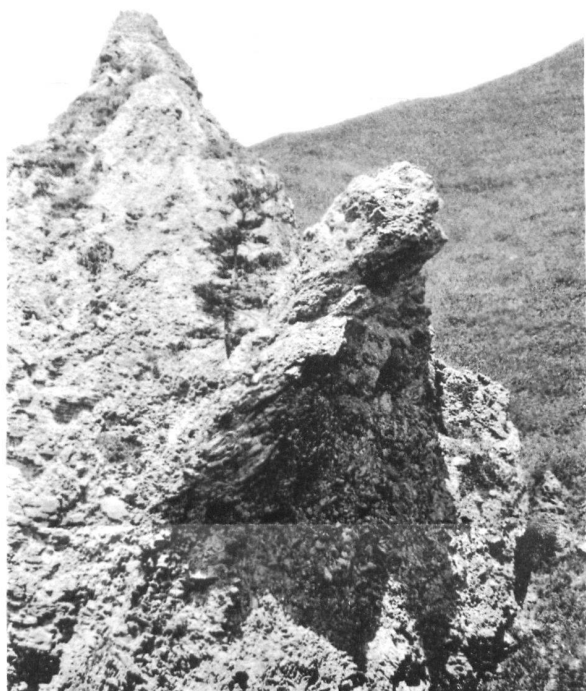
a) Rio Gulmagno, neuer Lauf.



c) Basische Injektionen, östlich Rossa.



b) Talstufe des Pian S. Giacomo.



d) Dislokationsbreccie bei Nano.